

УДК 631.417.2+547.757

ИССЛЕДОВАНИЕ СПИРТО- И ВОДОРАСТВОРИМЫХ ФРАКЦИЙ ГУМИНОВЫХ КИСЛОТ РАЗЛИЧНЫХ ПОДТИПОВ ЧЕРНОЗЕМОВ МЕТОДОМ ПИРОЛИТИЧЕСКОЙ МАСС-СПЕКТРОМЕТРИИ

А. Ю. ТОМАЩУК

(Кафедра физической и коллоидной химии)

Настоящая работа посвящена изучению спирто- и водорастворимых фракций гуминовых кислот (ГК) 4 подтипов черноземов — обычновенного, южного, южного карбонатного и выщелоченного — с целью выяснения динамики выделения продуктов пиролиза, определения полуколичественного состава пиролизатов, а также выявления сходства и различий между подтипами по количественному и качественному составу фракций. Исследования проводили методом пиролитической масс-спектрометрии (ПМС), режим съемки которой подробно описан в [2]. Масс-спектры рассчитывали по методике [2], которая была нами модифицирована для того, чтобы расширить число пиков, характеризующих различные аналитические группы, а также увеличить количество определяемых групп (табл. 1). Первое дало возможность полнее использовать карту мас совых чисел, а второе — детализировать структурно-групповой состав пиролизатов.

Динамика выделения продуктов пиролиза спирторастворимых фракций гуминовых кислот (ГМК)

У ГМК изучаемых подтипов черноземов положение максимумов суммарных продуктов пиролиза при 360—390 °C не различалось (рис. 1, a). Площади пиков (измерение проводилось методом взвешивания), построенных по полному ионному току, практически были одинаковы для ГМК всех подтипов. В первой температурной области только для спирторастворимой фракции гуминовых кислот чернозема южного (условно ГМК-2, рис 1, a) характерен интенсивный четко выраженный пик при 170 °C. В высокотемпературной области пики мало интенсивны и имеют форму выступов.

Максимум продуктов пиролиза выделяется во второй температурной области. Они состоят, судя по масс-термограммам, а также по составу пиролизатов, примерно из

Массовые числа характеристических ионов

Аналитическая группа	Массовые числа
I — алифатические соединения, жирные кислоты и их эфиры	31, 41, 42, 43, 44, 45, 55, 56, 57, 58, 59, 60, 61, 73, 74, 75, 87, 88, 89, 101, 102, 115, 116, 129, 130, 143, 144, 157, 158, 171, 172, 185, 186, 199, 200, 213, 214, 227, 228, 241, 242, 255, 256
II — оксибензолы	93, 94, 109, 110, 125, 126, 141, 142, 173, 174
III — бензолькарбоновые кислоты	121, 122, 165, 166, 209, 210, 253, 254, 297, 298, 341, 342
IV — окси- и метоксизамещенные бензолькарбоновые кислоты	202, 215, 216, 229, 230, 243, 244, 257, 258, 271, 272, 285, 286
V — оскинафталины и нафталинкарбоновые кислоты	159, 160, 175, 176, 191, 192
VI — фураны, бензофураны, алкилфураны	68, 82, 96, 118, 119, 120, 132, 133, 134, 146, 147, 148
VII — хиноны	107, 108
VIII — алкилпирролы, пиридины, аминобензолы	67, 79, 81, 95, 123
IX — индолы, бициклические O- и N-содержащие соединения	152, 153, 154, 155, 156, 167, 168, 169, 170, 179, 180, 181, 182, 183, 188
X — полигидроксикислоты O- и N-содержащие соединения	187, 201, 203, 204, 205, 206, 217, 218, 219, 220, 221, 231, 232, 233, 234, 235

равных количеств «газообразных» (Γ) и «жидких + твердых» (ЖТ) продуктов (табл. 2). Основным Γ продуктом является CO_2 , его содержание для ГМК чернозема выщелоченного (ГМК-4) возрастает до 31,2 %. В отличие от суммарных продуктов пиролиза, которые выделяются в узком температурном интервале, Γ продукты выделя-

ются в несколько стадий, в широком диапазоне температур, четко выраженные максимумы в некоторых случаях отсутствуют (рис. 1, а).

Дегидратация. В температурной области до 200° происходит выделение воды у ГМК всех подтипов, наиболее четкий и интенсивный пик у черноземов обыкновен-

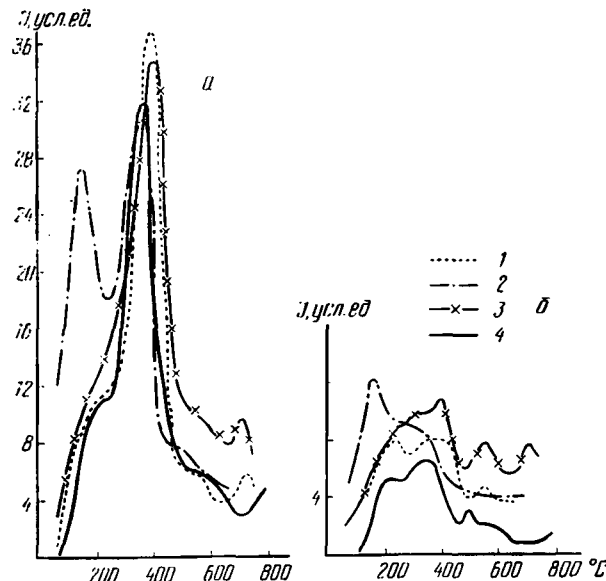


Рис. 1. Динамика выделения суммарных (а) и газообразных (б) продуктов пиролиза ГМК. 1, 2, 3 и 4 — соответственно чернозем обыкновенный, южный, южный карбонатный и выщелоченный.

Таблица 2

Относительное содержание компонентов пиролизатов исследуемых подтипов черноземов (отн. %)

Продукт пиролиза	ГМК-1	ГМК-2	ГМК-3	ГМК-4
Сумма Г	40,9	41,0	49,8	49,0
В т. ч.:				
CO ₂	15,1	23,0	17,7	31,2
CO	12,3	7,9	15,2	10,4
H ₂ O	9,6	7,0	11,2	5,4
Сумма ЖТ	59,1	59,0	51,2	51,0
В т. ч.:				
неароматические соединения				
ароматические и гидроароматические соединения	44,9	43,5	38,3	39,9
	14,2	15,5	12,9	11,1

ного и южного (соответственно ГМК-1 и ГМК-2), у остальных подтипов пик выделения воды нечетко выражен и малоинтенсивен (рис. 2, а). Для чернозема южного карбонатного (ГМК-3) пик воды носит характер «горба», широко размытого; с температурным интервалом от 60 до 800° и славыраженным максимумом при 240°.

Во второй температурной области (200—500°) на кривой выделения воды ГМК-4 имеет три максимума — 200, 360 и 490°, а ГМК-1 — два — 200 и 360°. У масс-термограммы ГМК-2 два уступа в этой области — 270 и 360°.

В высокотемпературной области (свыше 500°) эффект выделения воды отмечен только у ГМК-4 — 590°.

Таким образом, процесс дегидратации ГМК генетически близких подтипов почв характеризуется по крайней мере двумя максимумами и идет в основном в интервале температур от 80 до 350°. В интервале 80—120°, вероятно, выделяется адсорбционная вода, а в интервале 160—180° — химически связанная. Для температурной области выше 200° свойственны слабые по интенсивности и близко расположенные пики. Вероятно, в этой области процессы дегидратации осуществляются за счет наход-

ящихся в орто-положении гидроксильных групп карбоксилов, а также за счет гидроксилов двух типов — карбоксильного и фенольного, находящихся в близко расположенных ядрах.

По динамике выделения воды ГМК генетически близких подтипов не различаются. Самый интенсивный пик выделения воды у образца ГМК-3, слабоинтенсивный — у ГМК-4, что подтверждается данными табл. 2.

Декарбоксилирование. Выделение CO₂ начинается в первой температурной области только у ГМК-1 и ГМК-2 (соответственно 140 и 170°). Основное количество CO₂ выделяется при температуре 200—500°, при этом пики газовыделения имеют нечетко выраженные (рис. 2, б) максимумы в виде уступов. Наиболее четкие пики с максимумами выделения при 300, 420, 540 и 690° характерны для ГМК-3. В высокотемпературной области у ГМК всех исследуемых черноземов есть пики выделения (разные по четкости) при 540, 720 и 690°. В этой температурной области за выделение CO₂ ответственны более термоустойчивые фрагменты.

Итак, температурные интервалы при выделении CO₂ одинаковы для ГМК всех подтипов; относительное содержание CO₂ в пиролизатах ГМК различных подтипов почв колеблется в значительных пределах — от 15,1 до 31,2 % (табл. 2), что нашло отражение и подтверждение в интенсивности кривых выделения CO₂.

Выделение CO. CO выделяется в той же температурной области, что и H₂O и CO₂ (рис. 2, в). Наиболее сложная кривая выделения (как и в случае выделения CO₂) у ГМК-3. Количество эффектов выделения CO колеблется от 4 для ГМК-4 до 6 для ГМК-1. Особенно интенсивно выделяется CO во второй и третьей температурных областях, за что ответственны фрагменты, содержащие карбонильные группы. В высокотемпературной области можно предположить выделение CO из сложных гидроксилодержащих ароматических структур. Наиболее четкий и интенсивный пик в этой области при 690° у ГМК-3. По данным табл. 2, относительное содержание CO в ГМК-3 также наибольшее, хотя оно меньше изменяется по подтипам, чем содержание CO₂.

Ароматические и неароматические соединения. Из данных

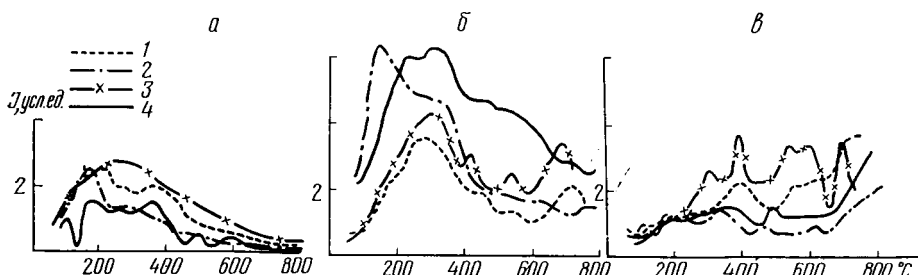


Рис. 2. Динамика выделения H₂O (а), CO₂ (б) и CO (в) при пиролизе ГМК.
Обозначения те же, что на рис. 1.

Рис. 3. Динамика выделения неароматических (а) и ароматических (б) соединений.
 1 — ГМК-1; 2 — ГМК-2 (слева);
 3 — ГМК-3; 4 — ГМК-4.

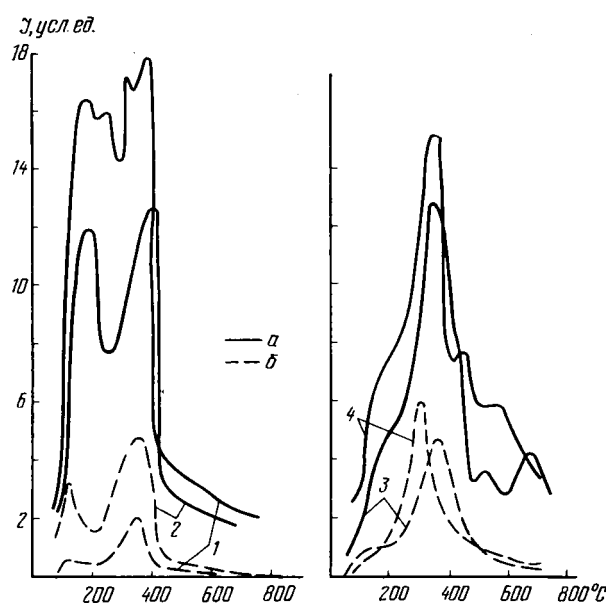


табл. 2 видно, что содержание неароматических соединений выше, чем ароматических. Весьма интересен тот факт, что в ГМК-3 и ГМК-4 после прекращения выделения ароматических компонентов продолжают выделяться неароматические (рис. 3, а). Объяснить это достаточно трудно, можно лишь предположить, что при такой высокой температуре деструктируют лабильные мостиковые структуры с неароматическими фрагментами, связанные с неорганической матрицей, которая играет важную роль в образовании макромолекулы ГМК. Косвенным доказательством этого может служить связь выделения неароматических соединений в высокотемпературной области со сравнительно высоким процентом зольности в образце. Так, у ГМК-3 выделение неароматических компонентов продолжается в диапазоне температур 500—750° и зольность максимальна — 5,4 %. Для образца ГМК-4 с зольностью 2,8 % выделение неароматических компонентов заканчивается при меньшей температуре. В случае ГМК-1 и ГМК-2 при зольности соответственно 1,92 и 1,80 % выделение неароматических компонентов прекращается уже при 400—450°.

На основании результатов исследования динамики выделения компонентов пиролиза ГМК четырех подтипов можно составить представление о возможной структуре макромолекул этих кислот, различающихся соотношением и пространственным расположением близких по структуре ароматических и неароматических фрагментов.

Относительное содержание компонентов в продуктах пиролиза

При специфичности динамики выделения и содержания основных структурных фрагментов в пиролизатах ГМК разных подтипов черноземов количественный состав основных продуктов пиролиза достаточно близкий. Мало отличается и содержание

неароматических соединений в ГМК исследуемых подтипов (табл. 3).

Группы массовых чисел характеристических ионов II—X мы условно отнесли к ароматическим соединениям, а группу I — к неароматическим.

При достаточно близком содержании неароматических соединений в исследованных ГМК наблюдаются различия в содержании соединений отдельных групп, относящихся к ароматическим. Заметны колебания в содержании бензолькарбоновых кислот (группа III) — от 4,8 % для ГМК-4 и до 12,1 % для ГМК-2. Содержание фуранов, бензольфуранов и алкильфуранов (VI) также колеблется в больших пределах — от 3,7 % для ГМК-2 и до 9,3 % для ГМК-4. Содержание остальных групп соединений колеблется незначительно.

Таким образом, можно заключить, что ГМК генетически близких подтипов почв

Таблица 3

Относительное содержание основных структурных фрагментов в пиролизатах ГМК исследуемых подтипов черноземов (% к сумме ЖТ; данные получены в изотермическом режиме)

Аналитическая группа	ГМК-1	ГМК-2	ГМК-3	ГМК-4
I	50,8	50,6	49,0	48,7
II	7,5	7,9	8,2	10,1
III	4,9	12,1	9,6	4,8
IV	3,4	2,5	2,9	2,2
V	2,2	1,8	2,0	2,1
VI	7,4	3,7	6,3	9,3
VII	1,6	1,4	1,6	1,7
VIII	10,9	8,6	9,8	10,6
IX	6,6	6,1	6,4	6,7
X	4,7	5,3	4,2	4,0

имеют одинаковые по качественному составу структурные единицы, из которых складывается макромолекула, но соотношение структурных единиц, пространственное расположение, связи между собой и с органоминеральной матрицей различаются. Это находит свое отражение в разной динамике выделения продуктов пиролиза. Относительное содержание групп отдельных компонентов, слагающих макромолекулу, определяемое методом пиролиза при постоянной температуре, очень близкое. Ощущимые расхождения наблюдаются лишь в случае бензокарбоновых кислот и фуранов.

Следовательно, в качестве диагностических характеристик наряду с кривыми динамики выделения продуктов пиролиза частично может быть использовано и относительное содержание соединений аналитических групп (I—X). К структурным особенностям макромолекул ГМК можно отнести значительное количество лабильных мостиковых структур алициклического и циклического характера с функциональными заместителями и очень небольшое количество полилипидических O- и N-содержащих фрагментов.

Динамика выделения продуктов пиролиза водорастворимых фракций ГК

Характер масс-термограмм по полному току водорастворимых фракций более сложный, чем спирторастворимых фракций тех же подтипов. Это, по-видимому, можно объяснить менее однородным составом структурных единиц, слагающих макромолекулу, и большим числом типов связей, чем у ГМК.

Основные температурные максимумы у водорастворимых фракций ГК черноземов обыкновенного (ВР-1), южного (ВР-2), южного карбонатного (ВР-3) и выщелоченного (ВР-4) совпадают (рис. 4, а). Наиболее интенсивное выделение суммарных продуктов пиролиза (до 80 %) происходит во второй и третьей температурных областях. Масс-термограммы наиболее представительных газообразных кислородсодержащих

Таблица 4
Относительное содержание (отн. %)
компонентов пиролизатов
водорастворимых фракций ГК
исследуемых подтипов черноземов

Показатели	ВР-1	ВР-2	ВР-3	ВР-4
Сумма Г продуктов	87,1	92,2	85,0	75,4
В т. ч.:				
CO ₂	54,2	45,7	42,4	36,0
CO	20,9	35,7	30,3	23,2
H ₂ O	8,4	8,3	8,7	12,4
Сумма ЖТ продуктов	12,9	7,8	15,0	24,6
В т. ч.:				
неароматические соединения	12,5	7,7	14,3	22,6
ароматические и гидроароматические соединения	0,4	0,1	0,7	2,0

продуктов, таких как CO, CO₂ и H₂O, даны на рис. 4, б. Основной вклад в пики суммарных масс-спектров вносят газообразные продукты деструкции, что подтверждается данными табл. 4. Содержание CO₂ колеблется от 36 до 54 %, выделяется он во второй и третьей температурных областях, где имеется несколько максимумов — при 270, 360, 650 и 760 °. Такой сложный процесс декарбоксилирования, который характеризуется как минимум тремя максимумами выделения CO₂, говорит о разной природе фрагментов, ответственных за его выделение.

Для ВР-2 в отличие от ВР других подтипов при пиролизе наблюдается заметное выделение CO₂ и CO (табл. 3, рис. 5), что свидетельствует о меньшем блокировании в ней карбоксильных групп и групп, ответственных за выделение этих соединений. Ха-

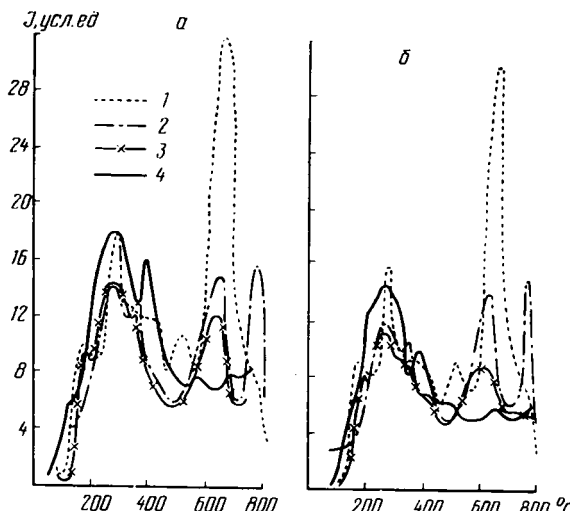


Рис. 4. Динамика выделения суммарных (а) и газообразных (б) продуктов пиролиза водорастворимых фракций ГК.
Обозначения те же, что на рис. 1.

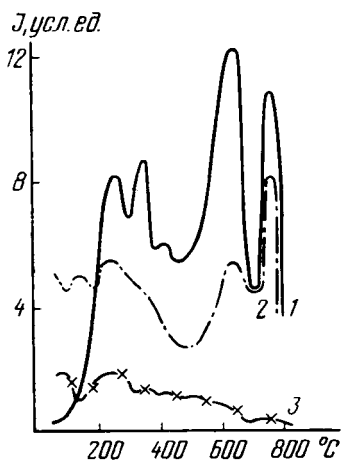


Рис. 5. Динамика выделения продуктов пиролиза CO_2 (1), CO (2) и H_2O (3) водорастворимой фракции чернозема южного.

рактерна пара максимумов выделения воды для ВР-2 и ВР-3, причем они более интенсивны у ВР-2 (рис. 6). Максимумы в более высокотемпературной области менее интенсивны, а наличие большого числа перегибов на масс-термограммах (для всех подтипов) указывает на многостадийность процесса дегидратирования в данном интервале температур. Одни из них, вероятно, соответствуют выделению адсорбированной воды, а другие — химически связанной.

Таким образом, у водорастворимых фракций генетически близких почв кривые, построенные по характеристическим пикам m/e 18, 28, 44, и качественный состав пиролизатов достаточно сходны. Тем не менее следует отметить специфичность выделения продуктов пиролиза у ВР-1, что может указывать на более сложное строение макромолекулы этой фракции и более сложную связь ее фрагментов между собой.

При близком качественном составе ВР разных подтипов почв они заметно различаются по соотношению продуктов пиролиза. Особенно существенны эти различия в сумме Γ , а также в содержании ароматиче-

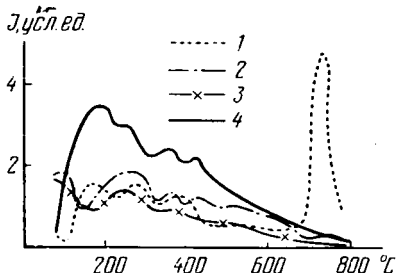


Рис. 6. Динамика выделения H_2O при пиролизе водорастворимых фракций ГKh.

Обозначения те же, что на рис. 1.

ских соединений. В ВР-4 содержится самое большое количество ароматических соединений (8,3 %) и минимальное количество Γ продуктов, при этом атомное соотношение Н:С самое низкое и равно 0,76 [1]. По всей вероятности, здесь имеет место незначительно развитая мостиковая структура и на этом фоне наименьшее выделение CO_2 — 36 %.

По распределению ароматических и неароматических продуктов пиролиза можно выделить две группы фракций. В первую входят ВР-1 и ВР-2, в которых содержание неароматических продуктов превышает 95 %, во вторую — фракции, содержащие менее 95 % неароматических продуктов.

Для того, чтобы составить более полное представление о последовательности разрыва связей в изучаемой системе, необходимо располагать данными о динамике выделения ароматических и неароматических продуктов (рис. 7, а, б).

В первой температурной области в основном выделяются неароматические фрагменты. Во фракциях ВР-1, ВР-3 и ВР-4 это пик при 170°, четко выраженный только для ВР-1.

Наиболее богата максимумами выделения вторая и третья температурные области, в них выделяется более 80 % неароматических и ароматических соединений. Во второй области (270°) вначале интенсивно выделяются неароматические соединения, по-видимому, из мостиковых структур. При температуре свыше 350° происходит незначительное выделение ароматических продуктов (табл. 4). У фракций ВР-1, ВР-3 и ВР-4 наблюдается многостадийность выхо-

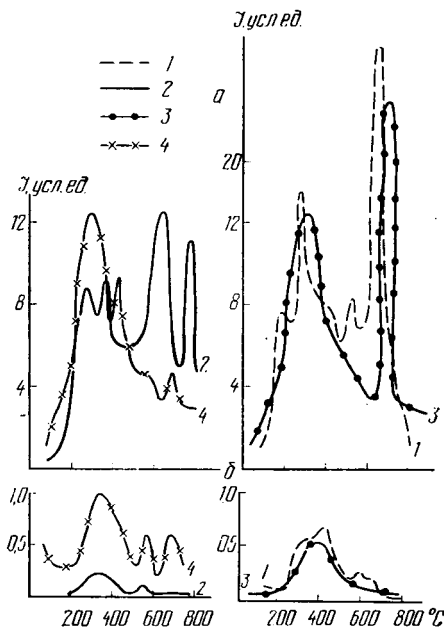


Рис. 7. Динамика выделения неароматических (а) и ароматических (б) продуктов пиролиза водорастворимой фракции ГKh.

Обозначения те же, что на рис. 1.

Таблица 5

Относительное содержание основных структурных фрагментов в пиролизатах водорастворимых фракций ГК исследуемых подтипов черноземов
(% к сумме ЖТ;
данные получены
в изотермическом режиме)

Аналитическая группа	ВР-1	ВР-2	ВР-3	ВР-4
I	79,6	83,9	76,8	75,9
II	3,9	2,7	4,0	4,5
III	0,9	1,4	1,5	1,7
IV	0,4	—	0,8	0,3
V	0,4	1,6	2,0	2,3
VI	5,6	4,3	5,4	4,8
VII	1,5	0,5	1,1	1,3
VIII	3,3	3,0	3,6	4,0
IX	3,1	2,2	3,5	3,7
X	1,3	0,4	1,3	1,5

Заключение

Применение метода пиролитической масс-спектрометрии позволило уточнить структурно-групповой состав пиролизатов наиболее характерных водо- и спирторастворимых фракций гуминовых кислот и показать, что эти фракции у генетически близких почв содержат одинаковые по качественному составу структурные единицы, из которых складывается макромолекула. Однако соотношение этих структурных единиц и пространственное расположение, а также связь между ними и с органо-минеральной матрицей разные, что находит свое отражение в разной динамике выделения продуктов пиролиза. При достаточном накоплении данных масс-спектрометрических анализов почв характер динамики выделения продуктов пиролиза может быть использован в качестве диагностического признака разных подтипов почв.

ЛИТЕРАТУРА

1. Томашук А. Ю., Хлебникова М. В., Кончиц В. А. Физико-химические свойства водорастворимых фракций ГК черноземов Северного Казахстана. — Изв. ТСХА, 1981, вып. 3, с. 71—75. —
2. Хмельницкий Р. А., Лукашенко И. М., Черников В. А., Крымский Я. Я. Основные принципы масс-спектрометрического анализа пиролизатов гумусовых кислот. — Изв. ТСХА, 1976, вып. 6, с. 193—208.

Статья поступила 23 октября 1981 г.

SUMMARY

The application of pyrolytic mass spectrometry method allowed to specify the group-structural composition of pyrolylates of the most characteristic water and spiritus soluble fractions of humic acids. Humic acids have similar structural units for qualitative composition in every type; macromolecula consists of these units; the correlation and space distribution as well as the relationship between these units and organic — mineral matrix differ and this reflects in different dynamics secretion of pyrolytic products.